

## 4-Dimethylamino-1-trifluoracetyl-pyridinium-trifluoracetat: Ein effizientes Reagens zur Synthese von Trifluormethyl-1,3-dicarbonyl-Verbindungen

Gerhard Simchen\*, Andreas Schmidt

Institut für Organische Chemie der Universität Stuttgart, Pfaffenwaldring 55, D-70569 Stuttgart, Germany

Received 3 August 1996

### 4-Dimethylamino-1-trifluoroacetylpyridinium Trifluoroacetate: An Efficient Reagent for the Preparation of Trifluoromethyl 1,3-Dicarbonyl Compounds

Enamines **2** and *O*-trimethylsilyl ketene acetals **4** are trifluoroacetylated on reaction with the title reagent to yield trifluoroacetyl enamines **3** and trifluoromethylsilylenol ethers **5**, respectively. Trifluoromethyl 1,3-diketones **6** and trifluoromethyl  $\beta$ -keto esters **7** are obtained by hydrolysis of compounds **3** and **5**.

Organofluor-Verbindungen besitzen heute wegen ihrer vielfältigen Anwendungen immenses industrielles Interesse.<sup>1</sup> Auch Trifluormethylketone, ausgezeichnet durch hohe Carbonylaktivität finden umfangreiche pharmakologische Verwendung.<sup>2–5</sup> Erst in neuerer Zeit wird über ertragreiche Synthesen von Trifluormethylcarbonyl-Verbindungen berichtet.<sup>6</sup> Wichtige Methoden bestehen in der Umsetzung von Metallorganylen mit Alkalialzinen,<sup>7–13</sup> ferner Estern und Amiden<sup>14–19</sup> der Trifluoresigsäure sowie Trifluoressigsäureanhydrid.<sup>20,21</sup> Auch Verfahren über die Alkylierung von Trifluoracetessigester,<sup>22–24</sup> der durch Claisen-Kondensation zugänglich ist,<sup>25</sup> werden beschrieben. Trifluormethyl-substituierte Enamine und Silyl-enoether, deren Hydrolyse zu den Ketonen führt, erhält man durch Wittig-Reaktion mit

Amiden und Silylestern der Trifluoressigsäure.<sup>26,27</sup> Die Acylierung mit Trifluoressigsäureanhydrid gelingt bei Enolethern<sup>28</sup> und Dithioketenacetalen,<sup>29</sup> offensichtlich jedoch nicht mit Enaminen.<sup>30</sup>

Über die Synthese von Aryltrifluormethylketonen durch Acylierung von Aromaten mit 4-Dimethylamino-1-trifluoracetyl-pyridinium-trifluoracetat (**1**), einem stabilen, einfach zu handhabenden Agens, berichteten wir kürzlich.<sup>31</sup>

Setzt man das Salz **1** mit Enaminen **2**<sup>32–34</sup> bei 10–25 °C in Benzol oder Dichlormethan um, so resultieren über die intermediäre Bildung von Iminiumsalzen des Typs A unter Eliminierung von 4-Dimethylaminopyridinium-trifluoracetat die Trifluoracetyl-Enamine **3** (Schema 1, Tabelle 1).

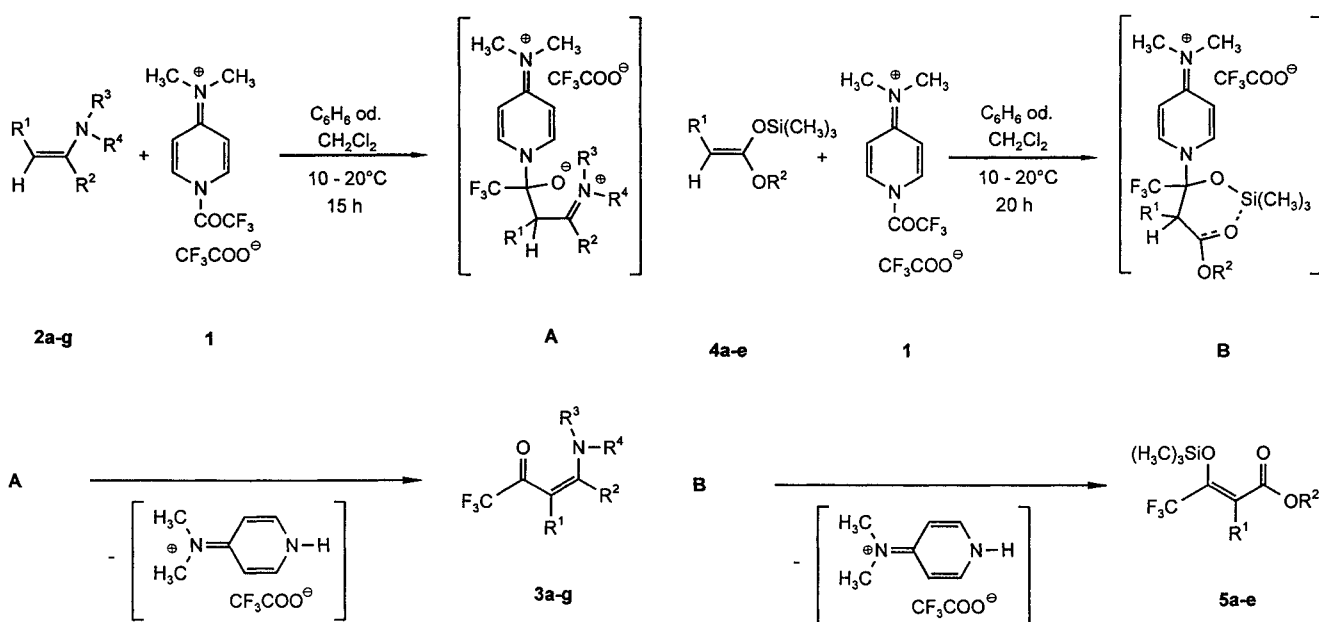
Unter nahezu gleichartigen Bedingungen reagieren die Silylketenacetale **4**<sup>35,36</sup> mit **1** unter Silylverschiebung im Zwischenprodukt **B** zu den *Z/E*-Silylenolethern **5** in ebenfalls guten Ausbeuten (Schema 2, Tabelle 2).

Durch Hydrolyse der Enamine **3** mit verdünnter Salzsäure in THF bei 50 °C erhält man die Trifluormethyl-1,3-

Table 1. Dargestellte *N*-Trifluoracetyl-enamine **3**

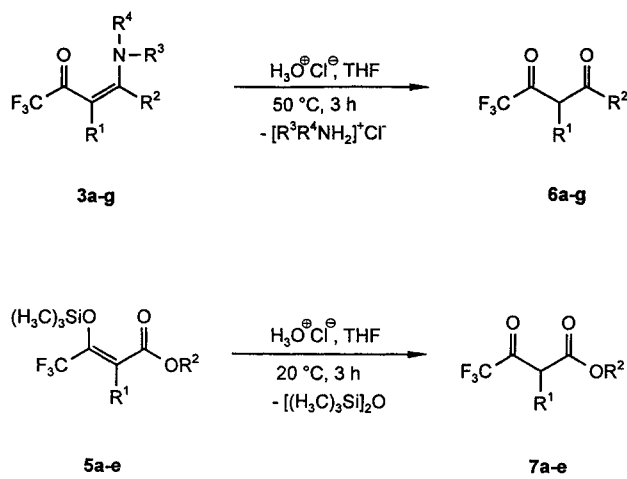
Educt	R <sup>1</sup>	R <sup>2</sup>	R <sup>3</sup> –R <sup>4</sup>	Product <sup>a</sup>	Ausbeute (%)	bp (°C/Torr)	<sup>1</sup> H NMR (CDCl <sub>3</sub> /TMS) δ, J (Hz)
<b>2a</b> <sup>32</sup>	–(CH <sub>2</sub> ) <sub>4</sub> –		(CH <sub>2</sub> ) <sub>4</sub>	<b>3a</b>	80	120/0.0001	1.48–1.64 (m, 4 H, CH <sub>2</sub> ), 1.88–1.93 (m, 4 H, CH <sub>2</sub> ), 2.42–2.47 (m, 2 H, CH <sub>2</sub> ), 2.53–2.94 (m, 2 H, CH <sub>2</sub> ), 3.23 (br, 4 H, NCH <sub>2</sub> )
<b>2b</b> <sup>33</sup>	Me	Et	(CH <sub>2</sub> ) <sub>4</sub>	<b>3b</b>	60	83/0.0001	1.12 (t, 3 H, CH <sub>3</sub> , J = 7.5), 1.89–1.94 (m, 7 H, CH <sub>2</sub> , CH <sub>3</sub> ), 2.51 (quin, 2 H, CH <sub>2</sub> , J = 7.6), 3.36 (br, 4 H, NCH <sub>2</sub> )
<b>2c</b> <sup>33</sup>	H	<i>t</i> -Bu	(CH <sub>2</sub> ) <sub>4</sub>	<b>3c</b>	69	175/0.0001	1.34 (s, 9 H, CH <sub>3</sub> ), 1.95–2.01 (m, 4 H, CH <sub>2</sub> ), 3.00–3.66 (m, 4 H, NCH <sub>2</sub> ), 5.47 (s, 1 H, CH)
<b>2d</b> <sup>33</sup>	H	Ph	(CH <sub>2</sub> ) <sub>4</sub>	<b>3d</b>	70	120/0.0001 (mp 68 °C)	1.81–1.92 (m, 2 H, CH <sub>2</sub> ), 2.04–2.15 (m, 2 H, CH <sub>2</sub> ), 3.14–3.19 (m, 2 H, NCH <sub>2</sub> ), 3.48–3.54 (m, 2 H, NCH <sub>2</sub> ), 5.31 (s, 1 H, CH), 7.39–7.50 (m, 5 H <sub>arom</sub> )
<b>2e</b> <sup>33</sup>	H	4-MeOC <sub>6</sub> H <sub>4</sub>	(CH <sub>2</sub> ) <sub>4</sub>	<b>3e</b>	72	160/0.0001 (mp 57 °C)	1.76–1.83 (m, 2 H, CH <sub>2</sub> ), 1.99–2.04 (m, 2 H, CH <sub>2</sub> ), 3.11–3.17 (m, 2 H, NCH <sub>2</sub> ), 3.39–3.45 (m, 2 H, NCH <sub>2</sub> ), 3.76 (s, 3 H, OCH <sub>3</sub> ), 5.21 (s, 1 H, CH), 6.87–7.19 (m, 4 H <sub>arom</sub> )
<b>2f</b> <sup>33</sup>	Me	Ph	(CH <sub>2</sub> ) <sub>4</sub>	<b>3f</b>	75	mp 71 °C	1.57 (q, 3 H, CH <sub>3</sub> , J = 2.0), 1.86–1.92 (m, 4 H, CH <sub>2</sub> ), 3.15–3.20 (m, 4 H, NCH <sub>2</sub> ), 7.35–7.42 (m, 5 H <sub>arom</sub> )
<b>2g</b> <sup>34</sup>	Et	H	(CH <sub>2</sub> ) <sub>2</sub> O(CH <sub>2</sub> ) <sub>2</sub>	<b>3g</b>	85	90/0.0001	0.96 (t, 3 H, J = 7.4), 2.37 (q, 2 H, CH <sub>2</sub> , J = 7.49), 3.48–3.52 (m, 4 H, NCH <sub>2</sub> ), 3.70–3.73 (m, 4 H, OCH <sub>2</sub> ), 7.14 (s, 1 H, CH)

<sup>a</sup> Zufriedenstellende Mikroanalysen: C ± 0.25, H ± 0.13, N ± 0.30.

**Schema 1****Schema 2****Table 2.** Dargestellte Trifluormethylsilylenolether **5**

Educt	R <sup>1</sup>	R <sup>2</sup>	Product <sup>a</sup>	Ausbeute (%)	Produkt-Verhältnis (E/Z)	bp (°C/Torr)	<sup>1</sup> H NMR (CDCl <sub>3</sub> /TMS) δ, J (Hz)
<b>4a</b> <sup>35</sup>	Ph	Me	<b>5a</b>	76	~ 1 : 5	75/0.0001	Z-Form: 0.36 [s, 9 H, Si(CH <sub>3</sub> ) <sub>3</sub> ], 3.76 (s, 3 H, OCH <sub>3</sub> ), 7.36–7.49 (m, 5 H <sub>arom</sub> ); E-Form: 0.00 [s, 9 H, Si(CH <sub>3</sub> ) <sub>3</sub> ], 3.81 (s, 3 H, OCH <sub>3</sub> ), 7.36–7.49 (m, 5 H <sub>arom</sub> )
<b>4b</b> <sup>36</sup>	Et	Me	<b>5b</b>	67	~ 1 : 2	73/15	Z-Form: 0.20 [s, 9 H, Si(CH <sub>3</sub> ) <sub>3</sub> ], 0.97 (t, 3 H, CH <sub>3</sub> , J = 7.6), 2.25–2.3 (m, 2 H, CH <sub>2</sub> ), 3.70 (s, 3 H, OCH <sub>3</sub> ); E-Form: 0.16 [s, 9 H, Si(CH <sub>3</sub> ) <sub>3</sub> ], 0.97 (t, 3 H, CH <sub>3</sub> , J = 7.6), 2.25–2.30 (m, 2 H, CH <sub>2</sub> ), 3.72 (s, 3 H, OCH <sub>3</sub> )
<b>4c</b> <sup>36</sup>	Et	Et	<b>5c</b>	60	~ 1 : 2	85/15	Z-Form: 0.20 [s, 9 H, Si(CH <sub>3</sub> ) <sub>3</sub> ], 0.97 (t, 3 H, CH <sub>3</sub> , J = 7.6), 1.20–1.29 (m, 3 H, CH <sub>3</sub> ), 2.25–2.32 (m, 2 H, CH <sub>2</sub> ), 4.12–4.20 (m, 2 H, CH <sub>2</sub> ); E-Form: 0.16 [s, 9 H, Si(CH <sub>3</sub> ) <sub>3</sub> ], 0.97 (t, 3 H, CH <sub>3</sub> , J = 7.6), 1.20–1.29 (m, 3 H, CH <sub>3</sub> ), 2.25–2.32 (m, 2 H, CH <sub>2</sub> ), 4.12–4.20 (m, 2 H, CH <sub>2</sub> )
<b>4d</b> <sup>36</sup>	Pr	Me	<b>5d</b>	72	~ 1 : 2	86/15	Z-Form: 0.21 [s, 9 H, Si(CH <sub>3</sub> ) <sub>3</sub> ], 0.82–0.91 (m, 3 H, CH <sub>3</sub> ), 1.34–1.41 (m, 2 H, CH <sub>2</sub> ), 2.18–2.26 (m, 2 H, CH <sub>2</sub> ), 3.69 (s, 3 H, OCH <sub>3</sub> ); E-Form: 0.16 [s, 9 H, Si(CH <sub>3</sub> ) <sub>3</sub> ], 0.82–0.91 (m, 3 H, CH <sub>3</sub> ), 1.34–1.41 (m, 2 H, CH <sub>2</sub> ), 2.18–2.26 (m, 2 H, CH <sub>2</sub> ), 3.71 (s, 3 H, OCH <sub>3</sub> )
<b>4e</b> <sup>36</sup>	i-Pr	Me	<b>5e</b>	51	~ 1 : 3	80/15	Z-Form: 0.26 [s, 9 H, Si(CH <sub>3</sub> ) <sub>3</sub> ], 1.08 (d, 6 H, CH <sub>3</sub> , J = 7.0), 2.91–2.96 (m, 1 H, CH), 3.75 (s, 3 H, OCH <sub>3</sub> ); E-Form: 0.20 [s, 9 H, Si(CH <sub>3</sub> ) <sub>3</sub> ], 1.08 (d, 6 H, CH <sub>3</sub> , J = 7.0), 2.91–2.96 (m, 1 H, CH), 3.77 (s, 3 H, OCH <sub>3</sub> )

<sup>a</sup> Zufriedenstellende Mikroanalysen: C ± 0.28, H ± 0.26.



Schema 3

Table 3. Dargestellte Trifluormethyl-1,3-diketone 6

Product <sup>a</sup>	Ausbeute (%)	Keto-Enol-Verhältnis	bp (°C/Torr)	<sup>1</sup> H NMR (CDCl <sub>3</sub> /TMS) δ, J (Hz)
6a	82	0/100	75/15	1.65–1.80 (m, 4 H, CH <sub>2</sub> ), 2.46–2.51 (m, 4 H, CH <sub>2</sub> ), 15.07 (s, 1 H, OH)
6b	42	~ 60/40	74/53	<i>Ketoform:</i> 0.96–1.13 (m, 3 H, CH <sub>3</sub> ), 1.33 (d, 3 H, CH <sub>3</sub> , J = 7.0), 2.52 (q, 2 H, CH <sub>2</sub> , J = 7.2), 4.05 (q, 1 H, CH, J = 7.1); <i>Enolform:</i> 0.96–1.13 (m, 3 H, CH <sub>3</sub> ), 2.09 (q, 3 H, CH <sub>3</sub> , J = 2.1), 2.52 (q, 2 H, CH <sub>2</sub> , J = 7.2), 15.83 (s, 1 H, OH)
6c	62	0/100	77/75	1.24 (s, 9 H, CH <sub>3</sub> ), 6.04 (s, 1 H, CH), 14.83 (br, 1 H, OH)
6d	77	0/100	102/15	6.59 (s, 1 H, CH), 7.45–7.98 (m, 5 H <sub>arom</sub> ), 15.10 (s, 1 H, OH)
6e	79	0/100	50/0.00 <sup>a</sup>	3.90 (s, 3 H, OCH <sub>3</sub> ), 6.51 (s, 1 H, CH), 6.87–7.96 (m, 4 H <sub>arom</sub> ), 15.40 (br, 1 H, OH)
6f	77	~ 90/10	118/15	<i>Ketoform:</i> 1.55 (d, 3 H, CH <sub>3</sub> , J = 7.1), 4.93 (q, 1 H, CH, J = 7.0), 7.50–7.99 (m, 5 H <sub>arom</sub> ); <i>Enolform:</i> 2.05 (q, 3 H, CH <sub>3</sub> , J = 2.0), 7.50–7.99 (m, 5 H <sub>arom</sub> ), 15.80 (s, 1 H, OH)
6g	50	0/100	106/110	1.05 (t, 3 H, CH <sub>3</sub> , J = 7.4), 2.30 (dq, 2 H, CH <sub>2</sub> , J = 7.5, 1.1), 8.87 (s, 1 H, CH), 13.95 (s, 1 H, OH)

<sup>a</sup> Zufriedenstellende Mikroanalysen: C ± 0.26, H ± 0.22.<sup>b</sup> Sublimationsprodukt.

Table 4. Dargestellte Trifluormethyl-β-ketoester 7

Product <sup>a</sup>	Ausbeute (%)	Keto-Enol-Verhältnis (nach <sup>1</sup> H NMR)	bp (°C/Torr)	<sup>1</sup> H NMR (CDCl <sub>3</sub> /TMS) δ, J (Hz)
7a	75	~ 40/60	105/15	<i>Ketoform:</i> 3.83 (s, 3 H, OCH <sub>3</sub> ), 5.15 (s, 1 H, CH), 7.20–7.46 (m, 5 H <sub>arom</sub> ); <i>Enolform:</i> 3.80 (s, 3 H, OCH <sub>3</sub> ), 7.20–7.46 (m, 5 H <sub>arom</sub> ), 13.04 (q, 1 H, OH, J = 1.8)
7b	70	~ 85/15	142	<i>Ketoform:</i> 0.96 (t, 3 H, CH <sub>3</sub> , J = 7.4), 1.99 (quin, 2 H, CH <sub>2</sub> , J = 7.4), 3.74 (s, 3 H, OCH <sub>3</sub> ), 3.75 (t, 1 H, CH, J = 7.2); <i>Enolform:</i> 0.96 (t, 3 H, CH <sub>3</sub> , J = 7.4), 1.99 (quin, 2 H, CH <sub>2</sub> , J = 7.4), 3.78 (s, 3 H, OCH <sub>3</sub> ), 12.61 (q, 1 H, OH, J = 1.8)
7c	71	~ 83/17	95/75	<i>Ketoform:</i> 0.92 (t, 3 H, CH <sub>3</sub> , J = 7.4), 1.20 (t, 3 H, CH <sub>3</sub> , J = 7.2), 1.94 (quin, 2 H, CH <sub>2</sub> , J = 7.2), 3.86 (t, 1 H, CH, J = 7.2), 4.19 (q, 2 H, OCH <sub>2</sub> , J = 7.1); <i>Enolform:</i> 0.92 (t, 3 H, CH <sub>3</sub> , J = 7.4), 1.20 (t, 3 H, CH <sub>3</sub> , J = 7.2), 1.94 (quin, 2 H, CH <sub>2</sub> , J = 7.2), 4.26 (q, 2 H, OCH <sub>2</sub> , J = 7.1), 12.71 (q, 1 H, OH, J = 1.8)
7d	75	~ <sup>b</sup>	90/68	0.95 (t, 3 H, CH <sub>3</sub> , J = 7.3), 1.29–1.41 (m, 2 H, CH <sub>2</sub> ), 1.95 (q, 2 H, CH <sub>2</sub> , J = 7.9), 3.76 (s, 3 H, OCH <sub>3</sub> ), 3.80 (t, 1 H, CH, J = 7.0)
7e	60	~ 100/0	86/68	0.93–0.98 (m, 6 H, CH <sub>3</sub> ), 2.40–2.54 (m, 1 H, CH), 3.61 (d, 1 H, CH, J = 8.4), 3.70 (s, 3 H, OCH <sub>3</sub> )

<sup>a</sup> Zufriedenstellende Mikroanalysen: C ± 0.29, H ± 0.18.<sup>b</sup> Infolge Signalüberlagerung nicht bestimmbar.

diketone **6**. Analog, jedoch bereits bei Raumtemp. erfolgt die hydrolytische Spaltung der Silylenolether **5** zu Tri-  
fluormethyl-β-ketoestern **7**. Da diese stabile Hydrate bilden, werden sie zwecks Dehydratisierung über Mole-  
kularsieb 4 Å destilliert. Die ungefähren Keto-Enol-Pro-  
duktverhältnisse der Produkte **6** und **7** ergeben sich aus den <sup>1</sup>H NMR-Spektren (Schema 3, Tabelle 3 und 4).

Silylenolether sind der Trifluoracetylierung zwar prin-  
ziell zugänglich, jedoch verläuft die Umsetzung bisher  
noch mit zu geringen Ausbeuten.

Zur Aufnahme der <sup>1</sup>H NMR-Spektren diente das Gerät Bruker AC 250, die Mitteldruckchromatographie erfolgte an Kieselgel Biospher Si60, 15–25 µm; UV-Detektion mit Petrolether/EtOAc (70:30). Benzol und CH<sub>2</sub>Cl<sub>2</sub> wurden über P<sub>2</sub>O<sub>5</sub> absolutiert. 4-Dimethylaminopyridin und Trifluoressigsäureanhydrid sind Handels-  
produkte der Fluka Chemie AG. Die Synthese der Produkte **1**, **3** und **5** erfolgte unter Feuchtigkeitsausschluß (CaCl<sub>2</sub>-Trockenrohr).

**Trifluoracetylenamine 3; allgemeine Arbeitsvorschrift:**

Zu einer Lösung der Enamine **2** (30 mmol) in abs. Benzol oder  $\text{CH}_2\text{Cl}_2$  (100 mL) gab man unter Eiskühlung, Röhren und Feuchtigkeitsausschluß das Salz **1**<sup>31</sup> (10.63 g, 32 mmol) so hinzu, daß die Innentemp.  $10^\circ\text{C}$  nicht überstieg. Man rührte 15 h bei RT, saugte unter Feuchtigkeitsausschluß ab, wusch das 4-Dimethylaminopyridinium-trifluoracetat mit abs. Pentan (40 mL) nach und entfernte das Lösungsmittel im Vakuum. **3a** wurden durch Umkristallisieren aus  $\text{CH}_2\text{Cl}_2$ /Pantan, **3b,c** und **g** durch Destillation im Hochvakuum gereinigt. Bei **3d–f** erfolgte die Reinigung durch Mitteldruckchromatographie mit Petrolether/EtOAc (70:30) als Eluent.

**Trifluormethylsilylenolether 5; allgemeine Arbeitsvorschrift:**

Zur Lösung der Silylketenacetale **4** (30 mmol) in abs.  $\text{CH}_2\text{Cl}_2$  (60 mL) gab man unter Eiskühlung, Röhren und Feuchtigkeitsausschluß das Salz **1**<sup>31</sup> (10.63 g, 32 mmol) so hinzu, daß die Innentemp.  $10^\circ\text{C}$  nicht überstieg. Man rührte 20 h bei RT, saugte unter Feuchtigkeitsausschluß ab, wusch das 4-Dimethylaminopyridinium-trifluoracetat mit abs. Pentan (40 mL) nach und entfernte das Lösungsmittel im Vakuum. Die Rohprodukte nahm man in abs.  $\text{Et}_2\text{O}$  (25 mL), filtrierte, entfernte den Ether im Vakuum und destillierte fraktionierend.

**Trifluormethyl-1,3-diketone 6; allgemeine Arbeitsvorschrift:**

Zum Trifluoracetyl-enamin **3** (44 mmol) in THF (100 mL) gab man unter Röhren und Eiskühlung allmählich 18-proz. HCl (20 mL) und erwärme 2.5 h auf  $50^\circ\text{C}$ . Die wässrige Phase wurde abgetrennt, mit  $\text{Et}_2\text{O}$  ( $2 \times 30$  mL) ausgeschüttelt und die vereinigten organischen Phasen mit gesättigter  $\text{NaHCO}_3^-$  (20 mL) und Kochsalzlösung (20 mL) gewaschen. Nach Trocknung ( $\text{MgSO}_4$ ) wurden die Lösungsmittel bei Normaldruck und die Rohprodukte im Vakuum über eine Spaltrohrkolonne (Fischer<sup>®</sup>) fraktionierend destilliert, **6a** wurde im Vakuum sublimiert.

**Trifluormethyl- $\beta$ -ketocarbonsäureester 7; allgemeine Arbeitsvorschrift:**

Zur Lösung des Trifluormethylsilylenolethers **5** (24 mmol) in THF (30 mL) fügte man unter Eiskühlung und Röhren nacheinander Wasser (5 mL) und konz. HCl (2 mL). Man rührte 2 h bei RT, trennte die Phasen und schüttete die wässrige Phase mit  $\text{Et}_2\text{O}$  ( $2 \times 15$  mL) aus. Die vereinigten organischen Lösungen wurden mit gesättigter  $\text{NaHCO}_3^-$  und Kochsalzlösung (je 10 mL) gewaschen und getrocknet ( $\text{MgSO}_4$ ). Die Lösungsmittel wurden im Vakuum entfernt und die Rohprodukte nach Zugabe von Molekularsieb 4 Å (0.5 g) fraktionierend an einer Spaltrohrkolonne (Fischer<sup>®</sup>) destilliert.

Dem Fonds der Chemischen Industrie danken wir für die finanzielle Unterstützung.

- (1) Banks, R. E. *Organofluorine Chemicals and their Industrial Applications*, Horwood: Chichester, 1979.
- (2) Gelb, M. H.; Svaren, J. P.; Abeles, R. H. *Biochemistry* **1985**, *24*, 1813.

- (3) Brodbeck, U.; Schweikert, K.; Gentinetta, R.; Rottenberg, M. *Biochem. Biophys. Acta* **1979**, *567*, 357.
- (4) Szekacs, A.; Hammock, B. D.; Abdel-Aal, Y. A. I.; Halarnkar, P. P.; Philpott, M.; Matolczy, G. *Pestic. Biochem. Physio.* **1989**, *33*, 112.
- (5) Lindermann, R. J.; Roe, R. M. *Pestic. Biochem. Physio.* **1989**, *33*, 291.
- (6) Begue, J. P. *Tetrahedron* **1991**, *47*, 3207.
- (7) Fruor, G.; Cahiez, G.; Normant, J. F. *Synthesis* **1984**, 37.
- (8) Jones, R. J. *J. Am. Chem. Soc.* **1948**, *70*, 143.
- (9) Rausch, D. A.; Lovelace, A. M. *J. Org. Chem.* **1956**, *21*, 1328.
- (10) Fung, S.; Abraham, N. A.; Bellini, F.; Sestanj, K. *Can. J. Chem.* **1983**, *61*, 368.
- (11) Wagner, P. J.; Truman, R. J.; Puchalsky, A. E.; Wake, R. *J. Am. Chem. Soc.* **1986**, *108*, 7727.
- (12) Margaretha, P.; Schröder, C.; Wolff, S.; Agosta, W. *J. Org. Chem.* **1983**, *48*, 1925.
- (13) Cheng, C. H.; Pearce, E. M. *J. Polym. Sci., Polym. Chem. Ed.* **1980**, *18*, 1889.
- (14) McGrath, T. F.; Levine, R. *J. Am. Chem. Soc.* **1955**, *77*, 3656.
- (15) Creary, X. *J. Org. Chem.* **1987**, *52*, 5026.
- (16) Zaitseva, N. A.; Panov, E. M.; Kocheshkov, K. A. *Izvest. Nauk S.S.R., Otdel. Khim. Nauk* **1961**, 831; *Chem. Abstr.* **1961**, *55*, 23300.
- (17) Nassal, M. *Liebigs Ann. Chem.* **1983**, 1510.
- (18) Shaw, D. A.; Touminen, T. C. *Synth. Commun.* **1985**, *15*, 1291.
- (19) Di Menna, W. S. *Tetrahedron Lett.* **1980**, *21*, 2129.
- (20) Steward, R.; Teo, K. C. *Can. J. Chem.* **1980**, *58*, 2491.
- (21) Steward, R.; Teo, K. C. *Can. J. Chem.* **1980**, *58*, 2497.
- (22) Bambury, R. E.; Yaktin, H. K.; Wyckoff, D. D. *J. Heterocycl. Chem.* **1968**, *5*, 95.
- (23) Begue, J. P.; Charpentier, M.; Nee, G. *J. Chem. Soc., Chem. Commun.* **1989**, 83.
- (24) Aubert, C.; Begue, J. P.; Charpentier, M.; Langois, B.; Nee, G. *J. Fluorine Chem.* **1989**, *44*, 361.
- (25) Burdon, J.; McLoughlin, V. C. R. *Tetrahedron* **1964**, *20*, 2163, und zitierte Literatur.
- (26) Begue, J. P.; Mesureur, D. *Synthesis* **1989**, 309.
- (27) Begue, J. P.; Mesureur, D. *J. Fluorine Chem.* **1988**, *39*, 271.
- (28) Hojo, M.; Masuda, R.; Kokuryo, Y.; Shiota, H.; Matsuo, S. *Chem. Lett.* **1976**, 499.
- (29) Hojo, M.; Masuda, R.; Kamitori, Y. *Tetrahedron Lett.* **1976**, *13*, 1009.
- (30) Hojo, M.; Masuda, R.; Okada, E.; Sakaguchi, S.; Narumiya, H.; Morimoto, K. *Tetrahedron Lett.* **1989**, *30*, 6173.
- (31) Simchen, G.; Schmidt, A. *Synthesis* **1996**, 1093.
- (32) Heyl, F. W.; Herr, M. E. *J. Am. Chem. Soc.* **1953**, *75*, 1918.
- (33) White, W. A.; Weingarten, H. *J. Org. Chem.* **1967**, *32*, 213.
- (34) Comi, R.; Franck, R. W.; Reitano, M.; Weinreb, S. M. *Tetrahedron Lett.* **1973**, *33*, 3107.
- (35) Emde, H.; Domsch, D.; Feger, H.; Frick, U.; Götz, A.; Herrgott, H. H.; Hofmann, K.; Kober, W.; Krägeloh, K.; Oesterle, T.; Steppan, W.; West, W.; Simchen, G. *Synthesis* **1982**, 1.
- (36) Ainsworth, C.; Kuo, Y.-N. *J. Organomet. Chem.* **1972**, *46*, 59.